

Starkniederschlagshöhen und -spenden gemäß KOSTRA-DWD-2020

Rasterfeld 216186

(Zeile 216, Spalte 186)

Regenspende und Bemessungsniederschlagswerte in Abhängigkeit von Wiederkehrzeit T und Dauerstufe D

| Dauerstufe D | | Wiederkehrzeit T | | | | | | | | | | | | | | | | | |
|--------------|-----|------------------|------------|-------|------------|-------|------------|-------|------------|-------|------------|-------|------------|-------|------------|-------|------------|-------|------------|
| | | 1 a | | 2 a | | 3 a | | 5 a | | 10 a | | 20 a | | 30 a | | 50 a | | 100 a | |
| min | Std | mm | l / (s ha) | mm | l / (s ha) | mm | l / (s ha) | mm | l / (s ha) | mm | l / (s ha) | mm | l / (s ha) | mm | l / (s ha) | mm | l / (s ha) | mm | l / (s ha) |
| 5 | | 8,1 | 270,0 | 10,0 | 333,3 | 11,2 | 373,3 | 12,7 | 423,3 | 15,0 | 500,0 | 17,3 | 576,7 | 18,8 | 626,7 | 20,8 | 693,3 | 23,7 | 790,0 |
| 10 | | 10,7 | 178,3 | 13,3 | 221,7 | 14,8 | 246,7 | 16,9 | 281,7 | 19,9 | 331,7 | 23,0 | 383,3 | 25,0 | 416,7 | 27,7 | 461,7 | 31,5 | 525,0 |
| 15 | | 12,5 | 138,9 | 15,5 | 172,2 | 17,3 | 192,2 | 19,8 | 220,0 | 23,3 | 258,9 | 26,9 | 298,9 | 29,2 | 324,4 | 32,3 | 358,9 | 36,8 | 408,9 |
| 20 | | 13,9 | 115,8 | 17,2 | 143,3 | 19,3 | 160,8 | 22,0 | 183,3 | 25,9 | 215,8 | 29,9 | 249,2 | 32,5 | 270,8 | 36,0 | 300,0 | 40,9 | 340,8 |
| 30 | | 16,2 | 90,0 | 20,0 | 111,1 | 22,4 | 124,4 | 25,5 | 141,7 | 30,0 | 166,7 | 34,7 | 192,8 | 37,8 | 210,0 | 41,7 | 231,7 | 47,5 | 263,9 |
| 45 | | 18,7 | 69,3 | 23,2 | 85,9 | 25,9 | 95,9 | 29,5 | 109,3 | 34,8 | 128,9 | 40,2 | 148,9 | 43,7 | 161,9 | 48,3 | 178,9 | 54,9 | 203,3 |
| 60 | 1 | 20,7 | 57,5 | 25,7 | 71,4 | 28,7 | 79,7 | 32,7 | 90,8 | 38,5 | 106,9 | 44,5 | 123,6 | 48,4 | 134,4 | 53,5 | 148,6 | 60,9 | 169,2 |
| 90 | 1,5 | 23,9 | 44,3 | 29,6 | 54,8 | 33,1 | 61,3 | 37,8 | 70,0 | 44,5 | 82,4 | 51,4 | 95,2 | 55,9 | 103,5 | 61,8 | 114,4 | 70,3 | 130,2 |
| 120 | 2 | 26,5 | 36,8 | 32,8 | 45,6 | 36,7 | 51,0 | 41,8 | 58,1 | 49,2 | 68,3 | 56,8 | 78,9 | 61,8 | 85,8 | 68,4 | 95,0 | 77,7 | 107,9 |
| 180 | 3 | 30,5 | 28,2 | 37,8 | 35,0 | 42,3 | 39,2 | 48,2 | 44,6 | 56,7 | 52,5 | 65,5 | 60,6 | 71,3 | 66,0 | 78,8 | 73,0 | 89,6 | 83,0 |
| 240 | 4 | 33,7 | 23,4 | 41,8 | 29,0 | 46,8 | 32,5 | 53,3 | 37,0 | 62,7 | 43,5 | 72,5 | 50,3 | 78,8 | 54,7 | 87,2 | 60,6 | 99,1 | 68,8 |
| 360 | 6 | 38,9 | 18,0 | 48,1 | 22,3 | 53,9 | 25,0 | 61,4 | 28,4 | 72,3 | 33,5 | 83,5 | 38,7 | 90,8 | 42,0 | 100,4 | 46,5 | 114,2 | 52,9 |
| 540 | 9 | 44,8 | 13,8 | 55,4 | 17,1 | 62,0 | 19,1 | 70,7 | 21,8 | 83,2 | 25,7 | 96,1 | 29,7 | 104,6 | 32,3 | 115,6 | 35,7 | 131,5 | 40,6 |
| 720 | 12 | 49,5 | 11,5 | 61,3 | 14,2 | 68,6 | 15,9 | 78,2 | 18,1 | 92,0 | 21,3 | 106,3 | 24,6 | 115,6 | 26,8 | 127,8 | 29,6 | 145,4 | 33,7 |
| 1080 | 18 | 57,0 | 8,8 | 70,6 | 10,9 | 79,0 | 12,2 | 90,0 | 13,9 | 105,9 | 16,3 | 122,4 | 18,9 | 133,1 | 20,5 | 147,2 | 22,7 | 167,4 | 25,8 |
| 1440 | 24 | 63,0 | 7,3 | 78,0 | 9,0 | 87,3 | 10,1 | 99,5 | 11,5 | 117,1 | 13,6 | 135,2 | 15,6 | 147,1 | 17,0 | 162,7 | 18,8 | 185,0 | 21,4 |
| 2880 | 48 | 80,1 | 4,6 | 99,2 | 5,7 | 111,0 | 6,4 | 126,6 | 7,3 | 149,0 | 8,6 | 172,1 | 10,0 | 187,2 | 10,8 | 207,0 | 12,0 | 235,4 | 13,6 |
| 4320 | 72 | 92,2 | 3,6 | 114,2 | 4,4 | 127,9 | 4,9 | 145,7 | 5,6 | 171,5 | 6,6 | 198,1 | 7,6 | 215,5 | 8,3 | 238,3 | 9,2 | 271,0 | 10,5 |
| 5760 | 96 | 101,9 | 2,9 | 126,2 | 3,7 | 141,3 | 4,1 | 161,1 | 4,7 | 189,6 | 5,5 | 218,9 | 6,3 | 238,2 | 6,9 | 263,4 | 7,6 | 299,5 | 8,7 |
| 7200 | 120 | 110,1 | 2,5 | 136,4 | 3,2 | 152,7 | 3,5 | 174,1 | 4,0 | 204,8 | 4,7 | 236,6 | 5,5 | 257,4 | 6,0 | 284,6 | 6,6 | 323,6 | 7,5 |
| 8640 | 144 | 117,3 | 2,3 | 145,3 | 2,8 | 162,7 | 3,1 | 185,4 | 3,6 | 218,2 | 4,2 | 252,1 | 4,9 | 274,2 | 5,3 | 303,2 | 5,8 | 344,8 | 6,7 |
| 10080 | 168 | 123,8 | 2,0 | 153,3 | 2,5 | 171,6 | 2,8 | 195,6 | 3,2 | 230,2 | 3,8 | 265,9 | 4,4 | 289,3 | 4,8 | 319,9 | 5,3 | 363,8 | 6,0 |

Starkniederschlagshöhen und -spenden gemäß KOSTRA-DWD-2020

Rasterfeld 216186

(Zeile 216, Spalte 186)

Örtliche Unsicherheiten in Abhängigkeit von Wiederkehrzeit T und Dauerstufe D

| Dauerstufe D | | Wiederkehrzeit T | | | | | | | | |
|--------------|-----|------------------|-----|-----|-----|------|------|------|------|-------|
| | | 1 a | 2 a | 3 a | 5 a | 10 a | 20 a | 30 a | 50 a | 100 a |
| min | Std | ± % | ± % | ± % | ± % | ± % | ± % | ± % | ± % | ± % |
| 5 | | 29 | 30 | 31 | 31 | 32 | 32 | 33 | 33 | 33 |
| 10 | | 30 | 31 | 31 | 32 | 33 | 33 | 34 | 34 | 34 |
| 15 | | 30 | 31 | 31 | 32 | 33 | 33 | 34 | 34 | 34 |
| 20 | | 29 | 30 | 31 | 32 | 32 | 33 | 33 | 34 | 34 |
| 30 | | 28 | 29 | 30 | 31 | 31 | 32 | 32 | 33 | 33 |
| 45 | | 27 | 28 | 28 | 29 | 30 | 30 | 31 | 31 | 32 |
| 60 | 1 | 26 | 27 | 27 | 28 | 29 | 29 | 30 | 30 | 30 |
| 90 | 1,5 | 24 | 25 | 26 | 26 | 27 | 28 | 28 | 28 | 29 |
| 120 | 2 | 23 | 24 | 25 | 25 | 26 | 27 | 27 | 27 | 28 |
| 180 | 3 | 22 | 23 | 23 | 24 | 25 | 25 | 26 | 26 | 26 |
| 240 | 4 | 21 | 22 | 23 | 23 | 24 | 24 | 25 | 25 | 25 |
| 360 | 6 | 21 | 22 | 22 | 23 | 23 | 24 | 24 | 24 | 25 |
| 540 | 9 | 22 | 22 | 22 | 23 | 23 | 24 | 24 | 24 | 25 |
| 720 | 12 | 23 | 23 | 23 | 23 | 24 | 24 | 24 | 25 | 25 |
| 1080 | 18 | 25 | 25 | 25 | 25 | 25 | 25 | 26 | 26 | 26 |
| 1440 | 24 | 26 | 26 | 26 | 26 | 27 | 27 | 27 | 27 | 27 |
| 2880 | 48 | 31 | 31 | 31 | 31 | 31 | 31 | 31 | 31 | 31 |
| 4320 | 72 | 35 | 34 | 34 | 34 | 34 | 34 | 34 | 34 | 34 |
| 5760 | 96 | 38 | 37 | 37 | 36 | 36 | 36 | 36 | 36 | 36 |
| 7200 | 120 | 40 | 39 | 39 | 38 | 38 | 38 | 38 | 38 | 38 |
| 8640 | 144 | 42 | 41 | 41 | 40 | 40 | 40 | 40 | 40 | 40 |
| 10080 | 168 | 43 | 42 | 42 | 42 | 42 | 41 | 41 | 41 | 41 |

Parameter für abweichende T und D

Lokationsparameter ξ (Xi)

20,89502285

Skalenparameter α (Alpha)

6,92628212

Formparameter κ (Kappa)

-0,1

1. Koutsoyiannis-Parameter θ (Theta)

0,01210283

2. Koutsoyiannis-Parameter η (Eta)

0,65262138

Parameter für dauerstufenübergreifende Extremwertschätzung nach KOUTSOYIANNIS et al. 1998.

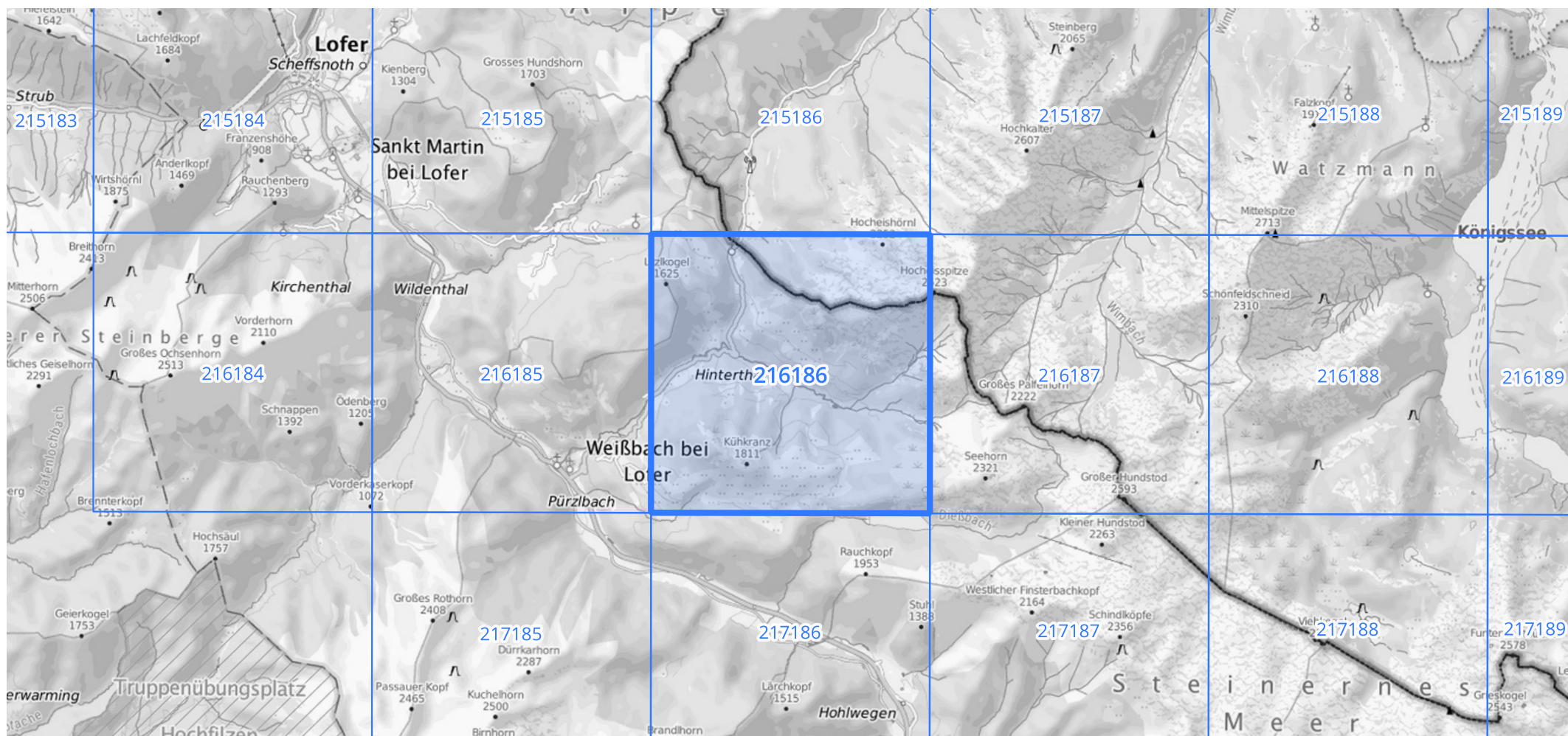
Siehe auch Anwendungshilfe zu KOSTRA-DWD-2020 des Deutschen Wetterdienstes.

Starkniederschlagshöhen und -spenden gemäß KOSTRA-DWD-2020

Rasterfeld 216186

(Zeile 216, Spalte 186)

Übersichtskarte des Rasterfeldes 216186, M 1 : 100 000



Quelle Rasterdaten: KOSTRA-DWD-2020 des Deutschen Wetterdienstes, Stand 12/2022.

Seite 3 von 3

Kartendarstellung: © Bundesamt für Kartographie und Geodäsie (2023), Datenquellen: https://sgx.geodatenzentrum.de/web_public/gdz/datenquellen/Datenquellen_TopPlusOpen.html

Für die Richtigkeit und Aktualität der Angaben wird keine Gewähr übernommen. Erstellt 01/2023.